



---

PR214 - Rapport de projet

*Prototypage d'un système de communications  
numériques complet à base de modules SdR*

---

*Auteurs :*

Maël LAVIEC  
Léa VOLPIN

*Promotion :*

ENSEIRB-MATMECA 2022

*Référents :*

Bertrand LE GAL  
Guillaume FERRÉ

# Table des matières

<b>1</b>	<b>Introduction</b>	<b>1</b>
1.1	Objectifs . . . . .	1
1.2	Paramètres de la chaîne de communications . . . . .	1
<b>2</b>	<b>Approche théorique</b>	<b>2</b>
2.1	Modélisation de la chaîne de communications réelle . . . . .	2
2.1.1	Émetteur . . . . .	2
2.1.2	Canal de propagation . . . . .	4
2.1.3	Récepteur . . . . .	5
2.2	Algorithmes retenus . . . . .	6
2.2.1	Synchronisation fréquentielle . . . . .	6
2.3	Synchronisation temporelle . . . . .	8
<b>3</b>	<b>Simulations</b>	<b>9</b>
3.1	Filtre porte . . . . .	10
3.1.1	QPSK classique . . . . .	10
3.1.2	Mode différentiel . . . . .	11
3.2	Filtre en racine de cosinus surélevé . . . . .	12
3.2.1	QPSK classique . . . . .	12
3.2.2	Mode différentiel . . . . .	13
<b>4</b>	<b>Étude de la transmission faite avec les HackRF</b>	<b>14</b>
<b>5</b>	<b>Conclusion</b>	<b>15</b>
<b>A</b>	<b>Scripts MATLAB</b>	<b>16</b>
A.1	Émetteur pi/4-DQPSK ou QPSK avec pré-synchronisation temporelle et fréquentielle . . . . .	16
A.2	Récepteur pi/4-DQPSK ou QPSK avec pré-synchronisation temporelle et fréquentielle . . . . .	18
A.3	Réseaux des SNR en température en fonction de la distance . . . . .	21

# 1 Introduction

Ce projet fait suite à un projet réalisé au semestre 9 par la filière Systèmes Embarqués (SE 2020).

## 1.1 Objectifs

L'objectif de ce projet est de développer une chaîne de communications numériques complète pour assurer la transmission d'images ou d'un flux vidéo entre EirBalloon2 et la station radio-amateur de l'ENSEIRB-MATMECA. Le projet pourra également être utilisé comme illustration des projets réalisés par les élèves lors des portes ouvertes de l'école.



FIGURE 1 – *Module SDR HackRF One utilisé*

Dans le cadre de notre projet, l'étage analogique de la chaîne de communications numériques sera réalisé par des modules SDR (Software Defined Radio). Ils ont comme avantage d'être des systèmes RF (Radio Fréquences) configurables. Leur flexibilité (utilisation en mode émetteur Tx ou récepteur Rx) permet notamment de s'adapter à l'architecture de la chaîne de communications retenue.

## 1.2 Paramètres de la chaîne de communications

L'objectif du projet étant une implantation sur EirBalloon2, plusieurs choix de paramètres se sont imposés. En effet, nous pouvons considérer que le chemin des ondes électromagnétiques (EM) entre l'émetteur (le ballon) et le récepteur (la station radio) est un chemin direct, c'est-à-dire sans multitrajets de l'onde EM. Ainsi, notre premier choix d'architecture a été effectué : nos communications seront sur mono-porteuse. La modulation numérique a été fixée comme de la modulation QPSK (Quadrature Phase Shift Keying). Nous avons alors  $nb = 2 \text{ bits/symbole}$ . Par ailleurs, la fréquence de la porteuse a été définie comme étant  $f_p = 1.2 \text{ GHz}$  sur une puissance d'émission de  $P_e = 1 \text{ W}$ . Afin de satisfaire des flux vidéos ou des transmissions d'images, le débit binaire est de  $D_b = 1 \text{ Mbits/s}$ . Nous avons alors un débit symbole de  $D_s = \frac{D_b}{nb} = 500 \text{ kSymboles/s}$  ce qui implique un temps symbole de  $T_s = \frac{1}{D_s} = 2 \mu\text{s}$ . De plus, les CAN et les CNA ont un temps d'échantillonnage fixe :  $T_e = 0,1 \mu\text{s}$ . Nous avons alors le facteur de sur-échantillonnage suivant :  $F_{se} = \frac{T_s}{T_e} = 20$

En résumé, nous avons les paramètres suivants :

- type de la chaîne de communications : **mono-porteuse** ;
- modulation numérique : **QPSK** ;
- fréquence de la porteuse :  $f_p = 1,2 \text{ GHz}$  ;
- puissance d'émission :  $P_e = 30 \text{ dBm}$  ;
- débit binaire :  $D_b = 1 \text{ Mbits/s} \Rightarrow D_s = 500 \text{ kSymboles/s} \Rightarrow T_s = 2 \mu\text{s}$  .
- facteur de sur-échantillonnage :  $F_{se} = 20 \Rightarrow f_e = 10 \text{ MHz}$  ;

## 2 Approche théorique

Dans cette partie, nous allons décrire le modèle théorique de notre chaîne de communications. Nous allons également prendre en compte les complications dues aux transmissions réelles (bruit, limite de l'électronique etc.). Dans un premier temps, nous décrivons chaque bloc qui compose notre émetteur et récepteur. Par la suite, nous allons présenter les algorithmes que nous avons retenus pour pallier à ces complications. Enfin, nous allons apporter un regard critique sur les solutions apportées.

### 2.1 Modélisation de la chaîne de communications réelle

Comme énoncé dans la partie §1.3, notre chaîne de communications est sur mono-porteuse. Ainsi, son architecture est semblable à :

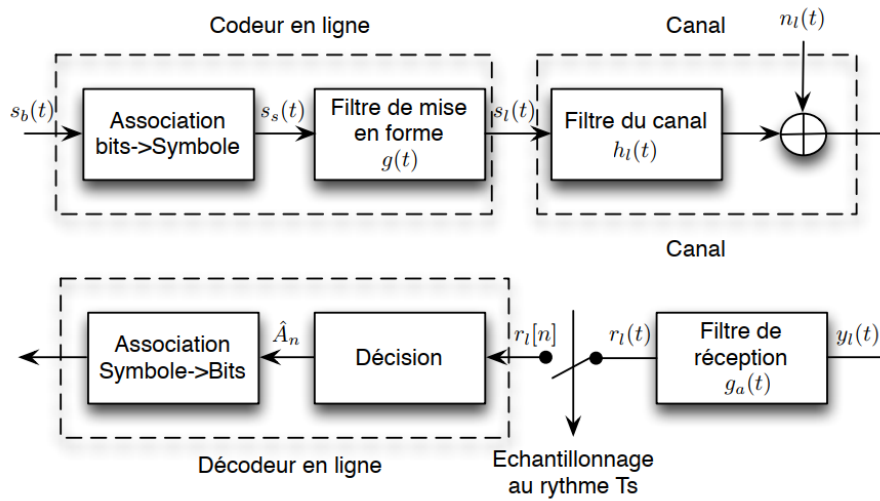


FIGURE 2 – Chaîne de communications numériques mono-porteuse

Il s'agit ici de la chaîne basique. La partie émission (Tx) reste relativement identique dans le cadre de notre projet. Cependant, la partie réception (Rx) présente de nouveaux blocs de traitement numérique afin de minimiser les effets indésirables d'une transmission réelle. On notera donc l'apparition d'un bloc TNDS (Traitement Numérique Du Signal) qui permet, entre autre, de réaliser une pré-synchronisation fréquentielle et temporelle (voir la section §2.2 sur les algorithmes retenus).

#### 2.1.1 Émetteur

Dans cette partie, les différents principes physiques et équations qui régissent notre émetteur sont présentés. A l'entrée de notre chaîne nous avons un flux binaire (dans notre cas, le flux binaire représente celui de l'image *background.jpeg*) qui peut être traduit par l'équation ci-dessous :

$$s_b(t) = \sum_{k=1}^{N_b} b_k \delta(t - kT_b) \quad (1)$$

Où  $T_b = 1,0 \cdot 10^{-6} s$  est la période binaire. Nous avons volontairement posé comme indice initial  $k = 1$  au lieu de  $k = 0$  afin de faciliter la modélisation sur MATLAB.

Puisque nous avons choisi une modulation QPSK, nous avons la répartition des combinaisons binaires en symboles suivante :

combinaison binaire $b_k$ et $b_{k+1}$	symbole associé $S_k$
00	$e^{j\frac{\pi}{4}}$
10	$e^{j\frac{3\pi}{4}}$
11	$e^{j\frac{5\pi}{4}}$
01	$e^{j\frac{7\pi}{4}}$

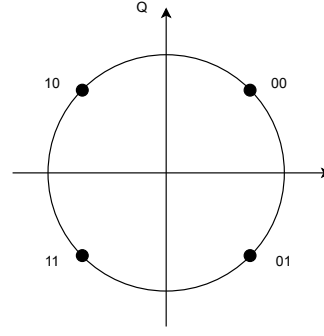


FIGURE 3 – Répartition des symboles en fonction des combinaisons binaires avec leur représentation dans le plan complexe (voies I et Q)

Ainsi, nous déduisons l'expression du flux de symbole à la sortie de modulateur numérique :

$$s_s(t) = \sum_{k=1}^{N_b/2} S_k \delta(t - kT_s) \quad (2)$$

Et celle à la sortie du filtre de mise en forme :

$$s_l(t) = (g * s_s)(t) = \sum_{k=1}^{N_b \cdot F_{se}/2} S_k g_x(t - kT_s) \quad (3)$$

Avec  $g_x(t)$  le filtre de mise en forme choisi. Dans notre cas, nous avons utilisé le filtre porte puis le filtre en racine de cosinus surélevé (rcos) avec un roll-off  $\alpha = 0,8$ . Ils sont définis par :

$$g_{porte}(t) = \begin{cases} 1 & \text{si } 0 \leq t < T_s \\ 0 & \text{sinon} \end{cases} \quad \text{et} \quad g_{rcos}(t) = \begin{cases} \frac{4\alpha}{\pi\sqrt{T_s}} \frac{\cos\left(\pi\frac{(1+\alpha)t}{T_s}\right) + \frac{\sin\left(\pi\frac{(1-\alpha)t}{T_s}\right)}{\frac{4\alpha t}{T_s}}}{1 - \left(\frac{4\alpha t}{T_s}\right)^2} & \text{si } -4T_s \leq t < 4T_s \\ 0 & \text{sinon} \end{cases}$$

Le diagramme de l'oeil des deux signaux  $s_l(t)$  pour les différents filtres de mise en forme sont représentés ci-dessous :

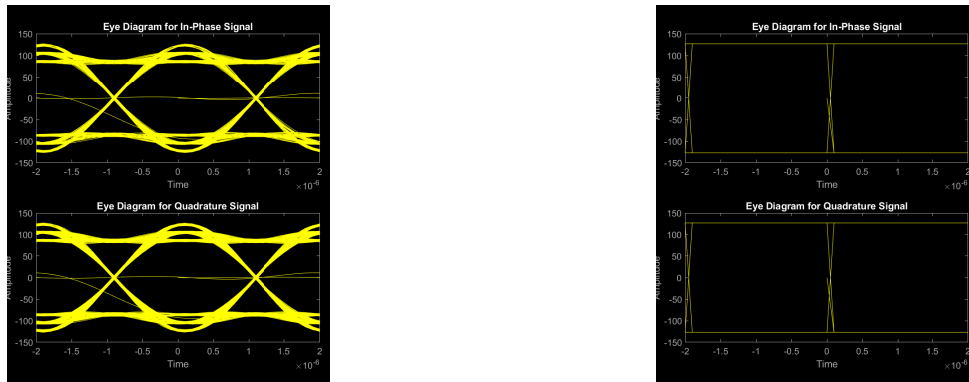


FIGURE 4 – Diagramme de l'oeil pour un filtre de mise en forme en racine de cosinus surélevé avec  $\alpha = 0,8$  (à gauche) et un filtre porte (à droite) du signal  $s_l(t)$

Par la suite, le signal  $s_l(t)$  est monté à la fréquence porteuse avec l'étage analogique du module SDR (non représenté sur la figure 2). L'expression à la sortie de l'émetteur est alors semblable (pour filtre de mise en forme en rcos) à :

$$s(t) = \sum_{n=1}^{N_b \cdot F_{se}/2 + 4F_{se}} \sqrt{\frac{P_e}{P_{s_l}}} \cdot S_k \cdot g_x(t - (k+4)T_s) \cdot \exp[j(2\pi(f_p + \Delta f_{Tx})t)] \quad (4)$$

Où  $P_{s_l}$  est la puissance du signal  $s_l(t)$ ,  $\Delta f_{Tx}$  est le décalage de fréquence de entre l'oscillateur local du module SDR Tx et la fréquence théorique de la porteuse  $f_p$  et  $k = \left\lfloor \frac{n}{F_{se}} \right\rfloor$ .

La formulation théorique du signal en sortie nous sera utile pour la compréhension de certains phénomènes physiques (décalage fréquentiel et temporel).

### 2.1.2 Canal de propagation

Nous avons précédemment décrit le signal en sortie de notre émetteur. Ce signal se propage dans l'air sur une certaine distance. On estime, avec le vol de EirBalloon1, une distance maximale entre Tx/Rx de  $R_{max} = 300 \text{ km}$ . Une telle distance a bien entendu des répercussions sur la qualité du signal reçu. En effet, il est majoritairement soumis à deux phénomènes :

- le bruit thermique de l'atmosphère terrestre  $n(t)$  ; On pose ici que le bruit  $n(t)$  est un bruit blanc gaussien additif tel que :

$$n(t) \sim \mathcal{N}_C(0, \sigma_{nl}^2)$$

- les pertes en espace libre  $L_s(R)$  :

$$L_s(R) = \left( \frac{4\pi R}{\lambda} \right)^2 \quad \text{où } \lambda = \frac{c}{f_p} = 0,25 \text{ m}$$

Ainsi, l'expression à l'entrée du récepteur (pour filtre de mise en forme en rcos) est :

$$y(t) = \sum_{n=1}^{N_b \cdot F_{se}/2 + 4F_{se}} \frac{1}{L_s} \sqrt{\frac{P_e}{P_{s_l}}} \cdot S_k \cdot g_x[t - (k+4)T_s] \cdot \exp[j(2\pi(f_p + \Delta f_{Tx})t)] + n(t) \quad (5)$$

Nous nous sommes également intéressés à l'évolution du rapport signal sur bruit : SNR (Signal Noise Ratio) avec les paramètres de notre chaîne de communications. On décrit ainsi l'évolution de notre SNR en fonction de la distance Tx/Rx telle que :

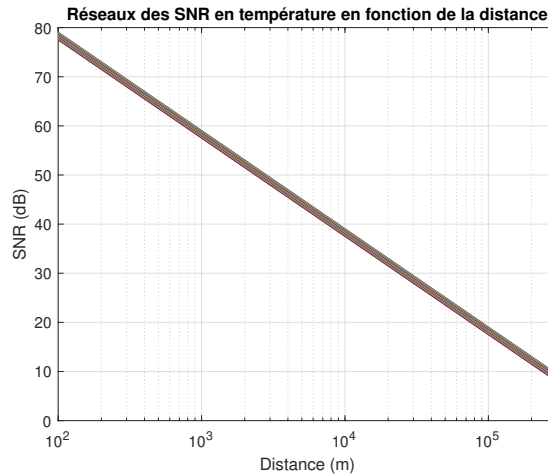


FIGURE 5 – Rapport signal sur bruit avec  $G_{Tx} = 8 \text{ dBi}$  et  $G_{Rx} = 0 \text{ dBi}$  pour  $T_{atmos} \in [-50; 50]^\circ\text{C}$

On constate alors que le rapport SNR le plus faible (donc pour la température la plus forte et la distance la plus longue) vaut :

$$SNR = \frac{E_b}{N_0} = 7,94 \text{ dB}$$

Pour  $R = 300 \text{ km}$  et  $T_{atmos} = 50^\circ\text{C}$ .

À partir de ce résultat, nous imposons un fonctionnement total (c'est-à-dire une probabilité d'erreur très faible) de notre chaîne de communications lorsque  $SNR > 5 \text{ dB}$ .

Malheureusement, une autre complication voit le jour : le temps de propagation du signal dans l'atmosphère. Bien que la distance maximale soit "courte" pour la célérité des ondes EM, elle est suffisamment importante pour engendrer un dysfonctionnement du récepteur (d'autant plus que nous ne savons pas quand nous allons recevoir une communication). En supposant qu'il y ait une transmission continue de son décollage jusqu'à son atterrissage, le retard s'exprime comme :

$$\tau = \frac{R}{c} = 1 \mu s \quad \text{pour } R_{max} = 300 \text{ km}$$

Nous aboutissons alors à l'expression finale équivalente du signal à l'entrée de notre récepteur (pour un filtre de mise en forme en racine de cosinus surélevé) :

$$y'(t) = y(t - \tau) = \sum_{n=1}^{N_b \cdot F_{se}/2 + 4F_{se}} \frac{1}{L_s} \sqrt{\frac{P_e}{P_{s_l}}} \cdot S_k \cdot g_x[t - (k + 4)T_s - \tau] \cdot \exp[j(2\pi(f_p + \Delta f_{Tx})(t - \tau))] + n(t) \quad (6)$$

Nous distinguons alors tout l'enjeu de détecter la présence du signal et à quel moment il commence. Par ailleurs, nous pouvons prévoir une désynchronisation fréquentielle dû au terme  $\Delta f_{Tx}$ . Par conséquent, notre objectif est de venir au mieux estimer les paramètres  $\tau$  et  $\Delta f_{Tx}$  (qui sera également constitué de  $\Delta f_{Rx}$ ).

### 2.1.3 Récepteur

Le retour en Bande de Base (BdB) de notre signal  $y'(t)$  s'effectue grâce à un module SDR configuré en récepteur. Malheureusement, le récepteur, notamment l'oscillateur local, n'est pas parfait et un nouveau décalage est constaté :  $\Delta f_{Rx}$ . Ainsi, le décalage fréquentiel résultant entre l'émetteur et le récepteur est :

$$\Delta f = \Delta f_{Tx} + \Delta f_{Rx}$$

Dans notre bloc TNDS, nous devons donc venir au mieux estimer la valeur de ce décalage fréquentiel  $\Delta f$  résultant des défauts du Tx et Rx. Deux méthodes seront présentées dans la partie §2.2.2.

Ensuite, le signal est filtré par son filtre adapté afin de maximiser le SNR. Nous avons alors :

$$v_x(t) = (g_x * g_{x,a})(t)$$

Où  $g_{x,a}(t)$  est le filtre adapté du filtre en rcos ou porte. Ainsi, dans le cadre d'un filtre de mise en forme rcos, l'expression à la sortie du filtre adapté, donc à l'entrée du sous-échantillonnage, est :

$$r_l(t) = \sum_{n=1}^{N_b \cdot F_{se}/2 + 8F_{se}} \frac{1}{L_s} \sqrt{\frac{P_e}{P_{s_l}}} \cdot S_k \cdot v_x[t - (k + 8)T_s - \tau] \cdot \exp[j(2\pi\Delta f(t - \tau))] + n'(t) \quad (7)$$

où  $n'(t) = (n * g_{x,a})(t)$  est le bruit convolué au filtre de mise en forme adapté.

Nous avons choisi ici des filtres de mise en forme respectant le critère de Nyquist de telle manière que le k-ième échantillon (après sous-échantillonnage d'un facteur  $F_{se}$ ) soit le k-ième symbole :

$$r_l[k] = v[0]S_k + n'[k]$$

Or si nous effectuons un sous-échantillonnage d'un facteur  $F_{se}$  sur  $r_l(t)$ , nous obtenons le signal suivant :

$$r_l[k] = \frac{1}{L_s} \sqrt{\frac{P_e}{P_{s_l}}} \cdot v_x[-\tau] \cdot \exp(j(2\pi\Delta f\tau)) S_k + \sum_{i=1, i \neq k}^{N_b/2} \frac{1}{L_s} \sqrt{\frac{P_e}{P_{s_l}}} \cdot S_i \cdot v_x[k - iT_s - \tau] \cdot \exp[j(2\pi\Delta f(k - \tau))] + n'[k] \quad (8)$$

Afin de simplifier l'expression ci-dessus, nous posons  $\beta(R) = \frac{1}{L_s} \sqrt{\frac{P_e}{P_{s_l}}}$ , le coefficient d'atténuation du signal après propagation et  $\theta$  un déphasage constant de notre signal. Nous obtenons finalement :

$$r_l[k] = \beta(R) \cdot v_x[-\tau] \cdot \exp(j(2\pi\Delta f\tau + \theta)) S_k + \sum_{i=1, i \neq k}^{N_b/2} \beta(R) \cdot S_i \cdot v_x[k - iT_s - \tau] \cdot \exp[j(2\pi\Delta f(k - \tau) + \theta)] + n'[k] \quad (9)$$

Bien que complexe, l'équation nous illustre principalement l'apparition d'Interférences Entre Symboles (IES), notamment avec l'apparition du bruit et de la somme des symboles adjacents au k-ième symbole. Par ailleurs, nous avons une diminution de la mise en valeur du k-ième symbole à cause du terme d'atténuation  $\beta(R)$ , d'un déphasage fréquentiel  $\Delta f$  et d'un déphasage constant  $\theta$ . Ces termes vont venir perturber la qualité de la constellation après sous-échantillonnage et ainsi augmenter la probabilité d'erreur binaire comme illustré par les figures ci-dessous :

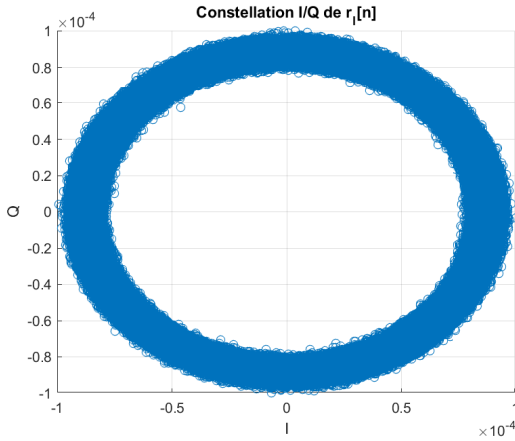


FIGURE 6 – Constellation I/Q du signal  $r_l[k]$  avec  $\Delta f = 94,419 \text{ kHz}$  et  $\beta(R) = 1,0 \cdot 10^{-4}$

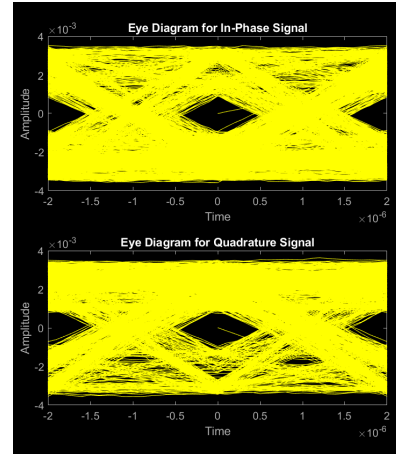


FIGURE 7 – Diagramme de l'oeil du signal  $r_l[k]$  avec  $\Delta f = 94,419 \text{ kHz}$  et  $\beta(R) = 1,0 \cdot 10^{-4}$

L'équation (9), la figure 6 et la comparaison de figure 4 avec la 7 attestent de la nécessité de faire une correction de notre signal reçu afin d'en ressortir un signal exploitable pour la suite de la chaîne de communications. En effet, nous souhaitons transmettre des images au format *.jpeg*, celui-ci n'est plus exploitable si un seul de ses bits est erroné. Nous devons donc impérativement implémenter de nouvelles fonctionnalités afin d'assurer la transmission sans embûches.

## 2.2 Algorithmes retenus

Dans cette partie, nous allons présenter les solutions que nous avons retenues pour notre chaîne de communications. Nous avons raisonné sur deux axes : une synchronisation temporelle et une synchronisation fréquentielle.

### 2.2.1 Synchronisation fréquentielle

Le but de la synchronisation fréquentielle est de venir estimer au mieux  $\Delta f$  mais également de supprimer le déphasage constant  $\theta$ . Nous avons trouvé deux solutions :

- par recherche de la fréquence du maximum de  $r_l^4[k]$  puis soustraction de la fréquence trouvée ;
- par codage différentiel des symboles complexes.

La première solution est une technique astucieuse. En effet, la QPSK peut être vue comme une variable aléatoire de la forme :

$$e^{j\phi(t)\frac{\pi}{4}} \quad \text{où} \quad \phi(t) \in 1, 3, 5, 7$$



Ainsi, si nous élevons cette expression à la puissance 4, nous avons :

$$e^{j4\phi(t)\frac{\pi}{4}} = e^{j\phi(t)\pi} = -1 \quad \forall \phi(t)$$

Par conséquent, si nous avons une fréquence résiduelle dans notre signal  $r_l(t)$  (avant sous-échantillonnage), on a le résultat ci-dessous :

$$e^{j(4\phi(t)\frac{\pi}{4} + 2\pi 4\Delta f t)} = e^{j\phi(t)\pi} e^{j2\pi 4\Delta f t} = -e^{j2\pi 4\Delta f t}$$

D'où une mise en évidence prononcée de  $f = 4\Delta f$  :

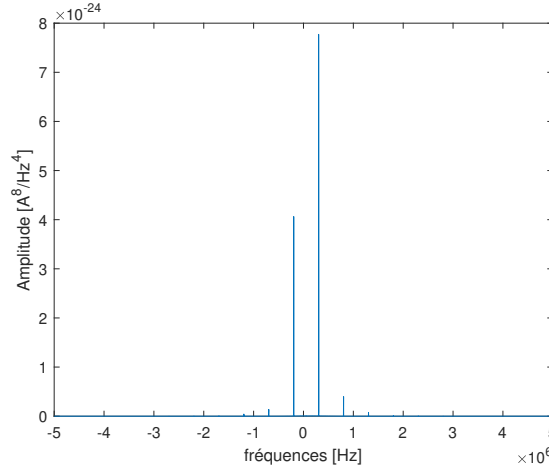


FIGURE 8 – Transformée de Fourier discrète du signal  $r_l(t)$  avec  $N_{FFT} = 32768$  bins

Dans l'exemple de la figure 8, nous avons décalage fréquentiel de  $\Delta f = 76,081 \text{ kHz}$ . Or la recherche de la fréquence associée au maximum de la FFT nous donne  $4\Delta f_{FFT} = 304,260 \text{ kHz} \Leftrightarrow \Delta f_{FFT} = 76,065 \text{ kHz}$ .

Nous remarquons alors que la méthode nous donne une bonne approximation de la fréquence résiduelle. Toutefois, il ne s'agit pas de la valeur exacte de  $\Delta f$ . On explique cette différence par l'imprécision due à la FFT. En effet, les fréquences sont balayées par pas de  $\frac{f_e}{N_{FFT}}$ . Ainsi, la fréquence de décalage estimée peut être, dans le pire des cas, égale à :

$$\Delta f_{FFT} = \Delta f \pm \frac{f_e}{2N_{FFT}}$$

On se pose alors la question de l'efficacité de notre technique. En effet, nous substituons un décalage fréquentiel par un autre décalage fréquentiel. Si nous faisons une application numérique, on a :

$$\Delta f - \Delta f_{FFT} = 16,87 \text{ Hz}$$

Ce qui est très inférieur au décalage originel  $\Delta f$ . Ainsi, nous pouvons qualifier notre technique de méthode de pré-synchronisation fréquentielle car l'asservissement en fréquence n'est pas total. Par exemple, pour un transfert de  $N_b = 1 \text{ Mbits}$  (à une vitesse de  $1 \text{ Mbits/s}$ ), la constellation du récepteur à le temps de faire  $2\pi(\Delta f - \Delta f_{FFT}) \cdot 1 \approx 106$  tours du cercle trigonométrique, le décodage des symboles n'est alors pas fiable. Par conséquent, cette méthode peut être considérée comme de la synchronisation fréquentielle qu'à condition que le nombre de bits à transmettre soit faible, c'est-à-dire pour un temps de transfert très faible. Nous imposons comme condition que la constellation ne doit pas être déphasée de plus de  $10^\circ$ , cela implique, dans le pire des cas, que :

$$N_b \leq 2 \frac{10^\circ}{180^\circ} \frac{f_s}{f_e} N_{FFT} \approx 182 \text{ bits} \quad \text{avec } N_{FFT} = 32768 \text{ bins}$$

Un résultat qui démontre le manque d'efficacité de cet algorithme. Ainsi, nous avons envisagé une autre solution : le codage différentiel.

Le principe du codage différentiel est de venir coder le symbole de rang  $n$  en fonction des symboles précédents. Ce codage a la caractéristique de corriger (jusqu'à une certaine limite) le décalage fréquentiel. Il est alors régi par une équation réursive. Par conséquent, la suite des symboles différentiels doit être initialisée. Ainsi, en connaissant le symbole initial, nous pouvons comparer le premier symbole reçu avec le premier symbole théorique. Cette comparaison nous apporte alors une estimation de  $\theta$ . Pour notre étude, la relation de récurrence a été définie telle que :

$$S_d[n+1] = S[n]S_d[n] \quad (10)$$

Avec  $S_d[1] = e^{j\frac{\pi}{4}}$ .

Toutefois, cette méthode a un prix. En effet, on s'aperçoit que la constellation QPSK n'est plus. En conséquence de la nouvelle méthode de codage des symboles, la constellation est semblable à une constellation 8-PSK :

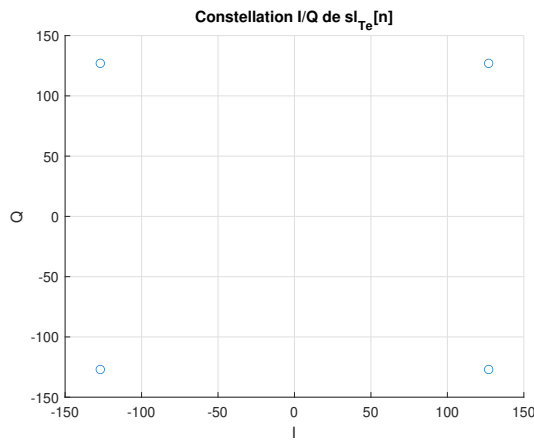


FIGURE 9 – Constellation I/Q du signal  $s(t)$  QPSK sans codage différentiel

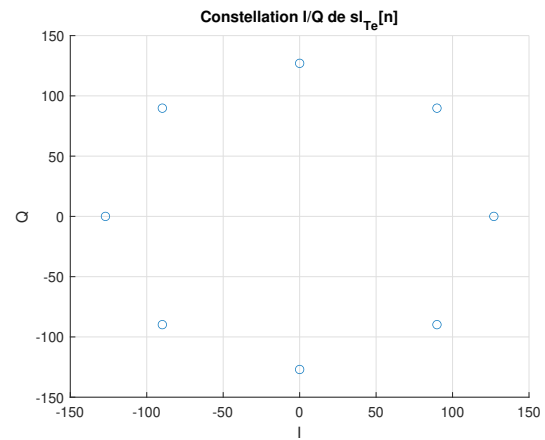


FIGURE 10 – Constellation I/Q du signal  $s(t)$  QPSK avec codage différentiel

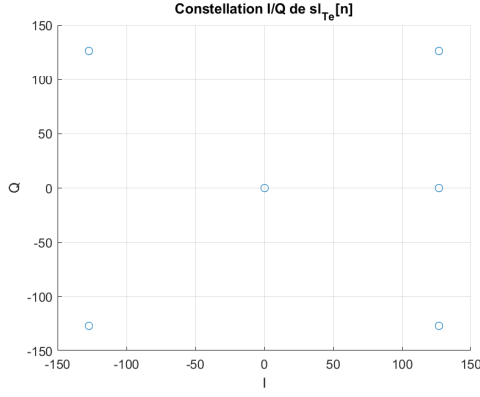
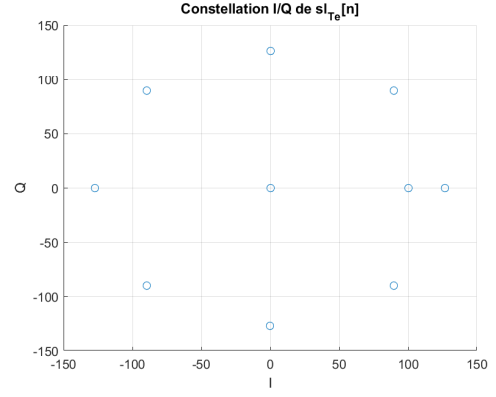
On en déduit trois points négatifs :

- le signal  $s(t)$  devient plus sensible au bruit avec le codage différentiel ce qui en gendre des répercussions sur le taux d'erreur binaire. On observe une augmentation des probabilités d'erreurs pour un même rapport SNR par rapport à un codage QPSK classique ;
- les symboles n'étant plus indépendants, le spectre du signal  $s(t)$  est déformé. Il est alors possible que la bande passante du signal soit modifiée ;
- la correction fréquentielle n'est efficace que si  $2\pi\Delta f T_s \leq \frac{\pi}{4} \Leftrightarrow \Delta f \leq 62,500 \text{ kHz}$ .

Malgré ces 3 défauts, la correction fréquentielle par codage différentiel semble idéale pour notre projet. En effet, si nous combinons la première méthode avec la seconde méthode, nous pouvons effectuer une bonne correction. Elle n'est toutefois pas robuste aux déviations électroniques pour des grands paquets de données.

## 2.3 Synchronisation temporelle

Le signal ayant un temps de propagation non nul, le signal reçu est décalé temporellement. L'enjeu est alors d'estimer le début de la trame de transmission. Tant que le retard est inférieur à  $T_s$ , l'estimation peut être faite à l'aide du critère de Garner. Toutefois, si ce retard  $\tau$  est supérieur à  $T_s$ , l'estimation est plus complexe à réaliser. Nous avons envisagé une trame de transmission munie d'un préambule. Le préambule a été pensé de telle sorte qu'il est impossible d'avoir une combinaison de symboles ressemblante au préambule. Cet unicité est marquée par l'apparition de symboles nuls sur plusieurs périodes  $T_s$  (il est possible, après le filtre adapté, d'avoir une valeur nulle du signal mais elle n'est possible que sur une seule période  $T_s$ ). Nous avons alors les constellation QPSK et DQPSK à la sortie du récepteur suivantes :

FIGURE 11 – Constellation I/Q du signal  $s(t)$  QPSK avec préambuleFIGURE 12 – Constellation I/Q du signal  $s(t)$  DQPSK avec préambule

Une fois l'unicité du préambule établie, il faut détecter la présence de ce dernier. Nous avons choisi une approche par intercorrrelation du signal échantillonné reçu avec le préambule théorique. Soit  $s_p(t)$  le signal associé au préambule de longueur  $N_p = \lfloor \frac{T_p}{T_e} \rfloor$ , l'intercorrrelation  $\rho(u)$  est définie par :

$$\rho(u) = \frac{\sum_{n=0}^{N_p-1} y[(n+u)T_e] s_p[nT_e]}{\sqrt{E_y} \sqrt{E_{sp}}} \leq 1 \quad (11)$$

Où  $E_y = \sum_{u=0}^{N_p-1} y^2[uT_e]$  est l'énergie du signal reçue et  $E_{sp} = \sum_{u=0}^{N_p-1} s_p^2[uT_e]$  est l'énergie du préambule. Enfin, nous avons fixé un seuil de détection à partir duquel on considère qu'il y a présence d'un signal. La valeur a été fixé à  $\gamma = 0.7$ . Nous avons alors comme courbes caractéristiques les figures ci-dessous :

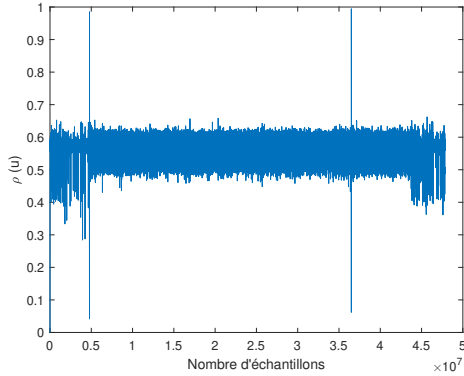


FIGURE 13 – Intercorrrelation du signal synthétique reçu avec le préambule théorique, détection de 2 préambules

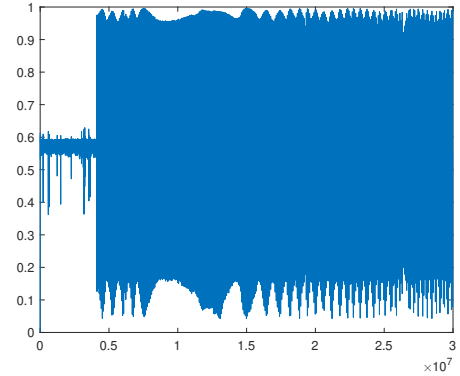


FIGURE 14 – Intercorrrelation du signal synthétique reçu avec le préambule théorique, détection de 272 préambules

Nous pouvons constater que la détection des préambules est franche. Bien que l'intercorrrelation semble être idéale, elle ne peut que fournir un indice entier du décalage temporel. Ainsi, si l'instant idéal du symbole est situé entre deux échantillons consécutifs, il ne nous n'est pas possible de déterminer la valeur intermédiaire, une solution avec une PLL est à envisager.

### 3 Simulations

Pour vérifier les hypothèses établies dans la théorie, nous avons effectué différentes simulations. Nous avons d'abord vérifié que nos constellations sont correctes sans bruit. Ici, nous nous concentrons sur les simulations d'un seul paquet avec les deux filtres, en mode différentiel ou non et avec du bruit dans tous les cas : rapport  $SNR = 7 \text{ dB}$ .

### 3.1 Filtre porte

#### 3.1.1 QPSK classique

Lorsque nous faisons une modulation QPSK, à l'émetteur, les simulations sont relativement cohérentes avec la théorie. Sur la constellation nous observons les 4 symboles classiques de la QPSK et deux autres liés au préambule. En effet, le préambule n'est composé que de 0 et de 1, sa représentation se fait sur l'axe des réels. De plus, la densité spectrale de puissance (DSP) simulée suit la DSP théorique au niveau du lobe principal mais s'en éloigne de plus en plus au fur et à mesure que l'on monte en fréquence. La bande passante mesurée est  $B = 1,0 \text{ MHz}$ . De plus, on remarque que la DSP théorique présente des pics qui tendent vers  $-\infty$ . Ils sont dus aux zéros du sinus cardinal ( $20\log(0) = -\infty$ ). Cependant, la DSP simulée ne les possède pas. Ceci s'explique par une largeur différente entre le signal d'entrée et le filtre porte qui entraîne la suppression des zéros lors de la convolution. Finalement, nous nous apercevons d'une raie centrée en  $f = 0 \text{ Hz}$ . On l'explique par l'espérance non-nulle des symboles due au préambule.

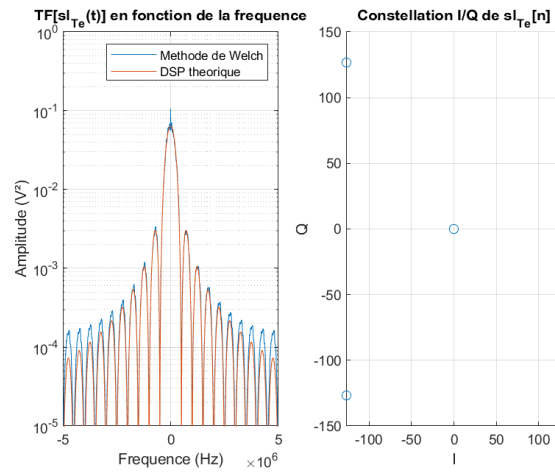


FIGURE 15 – *Transformée de Fourier discrète du signal et sa constellation à l'émetteur*

Au niveau du récepteur, on observe, comme prédit dans la théorie, que la constellation a tourné. Il y a donc une fréquence résiduelle. La moitié des bits sont alors faux :  $r = 0,5$ . De plus, notre bande passante a diminué :  $B = 0,93 \text{ MHz}$ . Il nous faut donc introduire le codage différentiel pour enlever cette fréquence résiduelle.

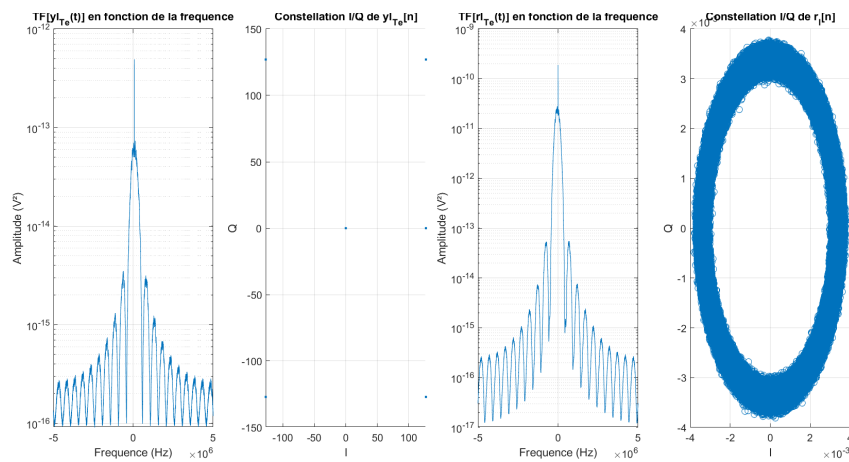


FIGURE 16 – *Transformée de Fourier discrète du signal et sa constellation au récepteur*

### 3.1.2 Mode différentiel

Désormais nous faisons une modulation QPSK en mode différentiel. Nous observons à l'émetteur 8 symboles semblables à ceux d'une 8-PSK et deux autres liés au préambule comme précédemment. Cette fois-ci, les symboles sont dépendants des précédents ce qui induit une déformation de la DSP. Notre bande passante est légèrement plus petite que la précédente :  $B = 0,99 \text{ MHz}$ .

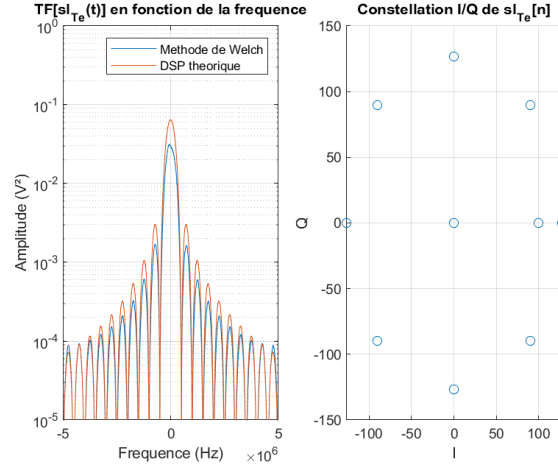


FIGURE 17 – *Transformée de Fourier discrète du signal et sa constellation à l'émetteur*

Au niveau du récepteur, cette fois-ci, la constellation n'a pas tourné. Nous avons donc réussi à enlever la fréquence résiduelle précédente. On peut cependant observer la présence du bruit sur la constellation. Après le bloc de décision, malgré le bruit, nous obtenons un taux d'erreur binaire nul :  $r = 0$ . Par ailleurs, notre bande passante a augmenté :  $B = 1,16 \text{ MHz}$ .

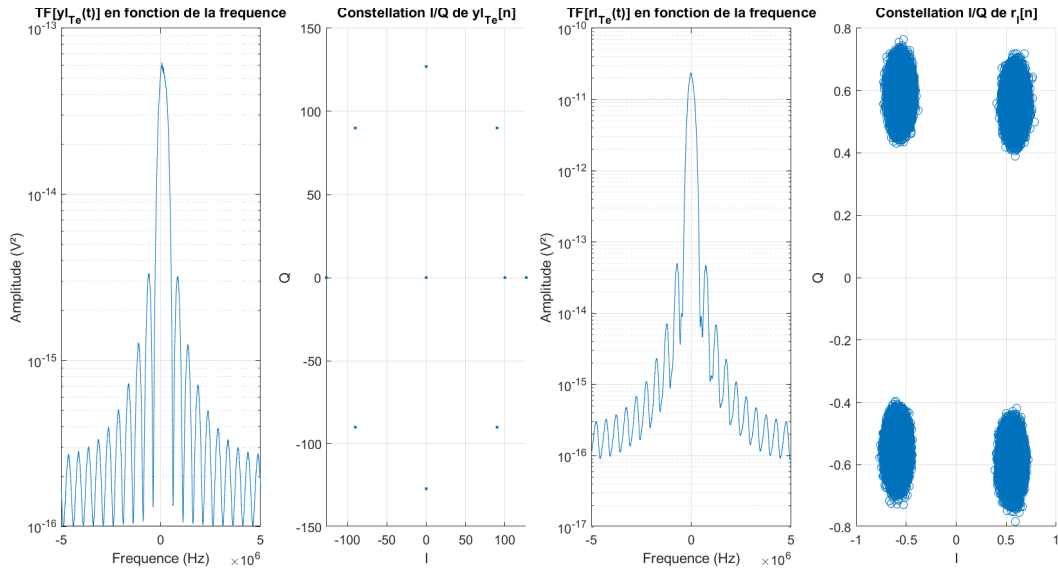


FIGURE 18 – *Transformée de Fourier discrète du signal et sa constellation au récepteur*

### 3.2 Filtre en racine de cosinus surélevé

#### 3.2.1 QPSK classique

Nous effectuons une modulation QPSK classique. Au niveau de l'émetteur, sur la constellation, nous observons les symboles classiques de la QPSK mais aussi les zéros (qui ont été ajoutés lors du sur-échantillonnage) entre les symboles qui ont interagi avec les variations du filtre en rcos. On observe aussi les 2 autres symboles liés au préambule. De plus, on remarque que pour les plus basses fréquences, la DSP de la simulation suit la DSP théorique. Cependant, lorsque l'on dépasse la bande passante, la DSP théorique est complètement nulle et donc tend vers  $-\infty$  en semilog alors que la DSP expérimentale ne s'annule pas mais tend vers de petites valeurs. La bande passante mesurée est  $B = 0,92 \text{ MHz}$ .

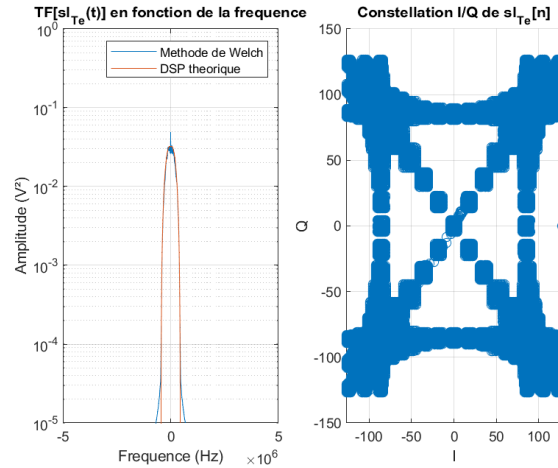


FIGURE 19 – *Transformée de Fourier discrète du signal et sa constellation à l'émetteur*

Au niveau du récepteur, comme pour le filtre porte, la constellation a tourné. Il y a donc encore une fréquence résiduelle. De plus, la moitié des bits sont faux :  $r = 0,5$ . Par ailleurs, notre bande passante a diminué :  $B = 0,85 \text{ MHz}$ . Il nous faut donc introduire le codage différentiel pour enlever cette fréquence résiduelle.

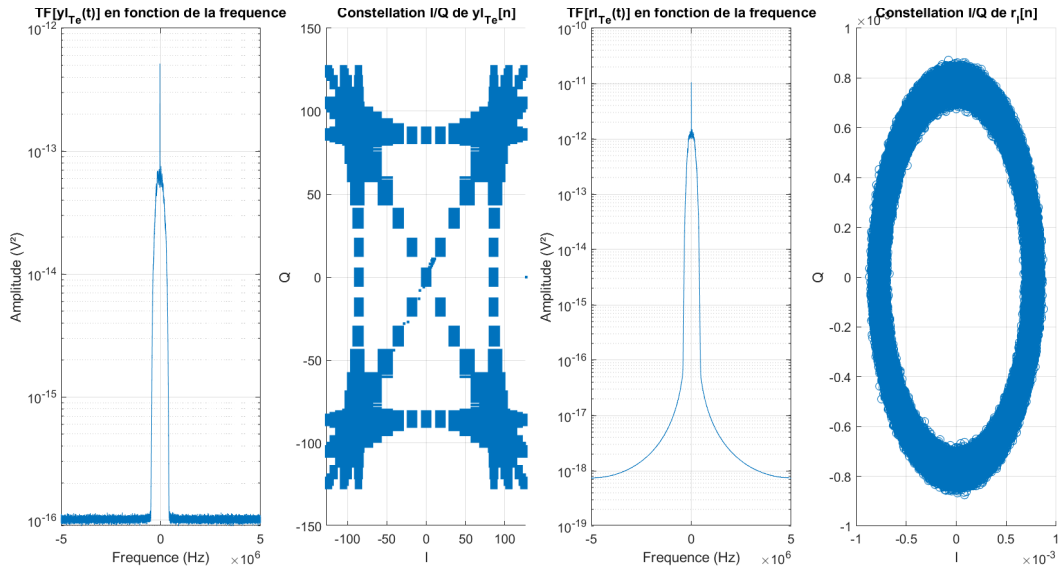


FIGURE 20 – *Transformée de Fourier discrète du signal et sa constellation au récepteur*

### 3.2.2 Mode différentiel

Désormais nous faisons une modulation QPSK en mode différentiel. Nous observons à l'émetteur, comme pour la simulation avec le filtre porte, les 8 symboles semblables à ceux d'une 8-PSK et les deux autres liés au préambule avec le même phénomène de modification de l'amplitude. De même, les symboles sont dépendants des précédents ce qui induit une déformation de la DSP. Notre bande passante est plus grande que la précédente :  $B = 0,93 \text{ MHz}$ .

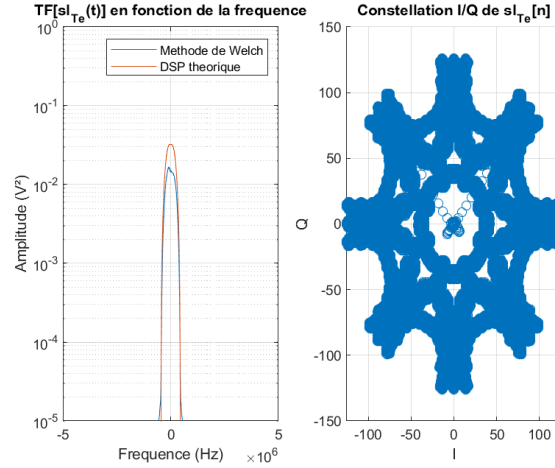


FIGURE 21 – *Transformée de Fourier discrète du signal et sa constellation à l'émetteur*

Au niveau du récepteur, comme pour la simulation avec le filtre porte, la constellation n'a pas tourné ce qui implique que la fréquence résiduelle n'est plus présente. On observe encore la présence du bruit sur la constellation mais après le bloc de décision, nous obtenons encore un taux d'erreur binaire nul :  $r = 0$ . Par ailleurs, notre bande passante est la même :  $B = 0,93 \text{ MHz}$ .

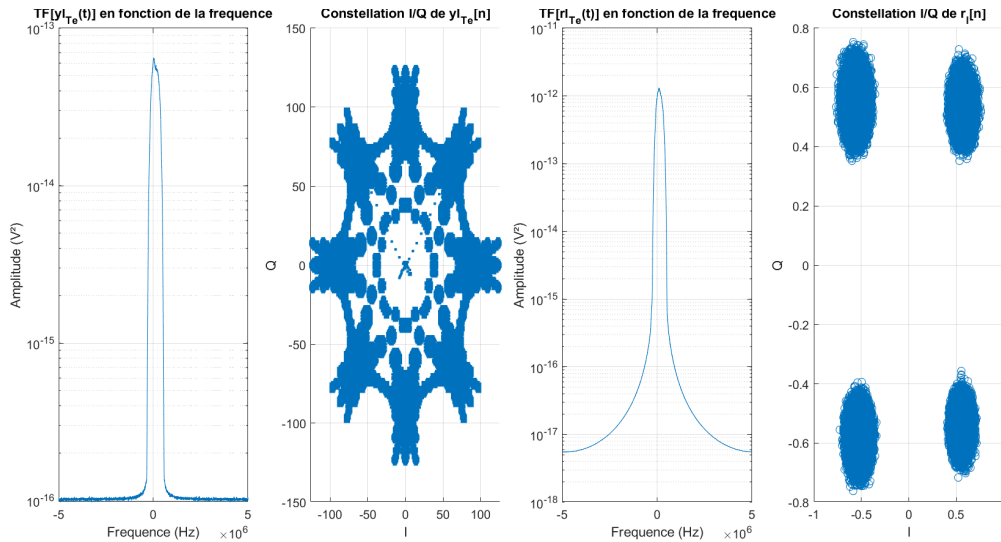


FIGURE 22 – *Transformée de Fourier discrète du signal et sa constellation au récepteur*

Après les simulations, nous comprenons l'importance du mode différentiel. En effet, il permet d'enlever au maximum la fréquence résiduelle et donc d'avoir un meilleur taux d'erreur binaire. De plus, nous favorisons un filtre en rcos car sa DSP ne présente pas de lobes secondaires. Ces derniers sont responsables de la transmission d'une partie du signal sur d'autres fréquences ce qui est énormément gênant puisque les transmissions doivent être faites sur des bandes de fréquences précises.



## 4 Étude de la transmission faite avec les HackRF

Une fois les simulations effectuées, nous décidons de transmettre une image grâce aux deux modules SDR dont nous disposons. Pour cela, il faut que nous "transformons" l'image en un flux de symboles modulés avec une QPSK en mode différentiel. On se sert alors de notre script Émetteur. Nous utilisons un filtre en racine de cosinus avec un roll-off  $\alpha = 0,8$ . Nous n'avons qu'un seul préambule et nous fixons le seuil de détection à 0,8. Nous envoyons notre flux binaire avec le premier SDR avec le gain du VGA à 28 dB et nous le recevons avec le deuxième SDR avec le gain du LNA à 24 dB. Ensuite, on se sert de notre script récepteur pour démoduler les symboles reçus et les remettre sous forme d'une image. Voici l'image envoyée et l'image reçue :



FIGURE 23 – Image avant transmission

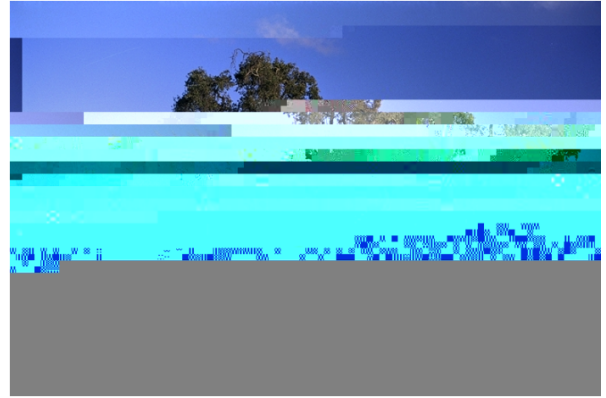


FIGURE 24 – Image après transmission

On remarque que seul le début de l'image est correctement transmis. Au début, la détection du préambule et la correction de phase s'effectuent. Cependant, le signal finit par se désynchroniser ce qui explique pourquoi nous n'avons pas la suite de l'image. En effet, le matériel que nous utilisons introduit un bruit de phase et les oscillateurs locaux n'oscillent pas avec une fréquence stable. Pour palier à ce problème, une solution est d'ajouter des préambules juste avant que nous perdions la synchronisation.

La constellation des symboles qui arrive au récepteur a tourné. Nous avons effectivement perdu la synchronisation. On observe bien la présence du bruit sur la constellation des symboles après passage dans le filtre adapté. Par ailleurs, notre bande passante est la même que dans les simulations :  $B = 0,93 \text{ MHz}$ .

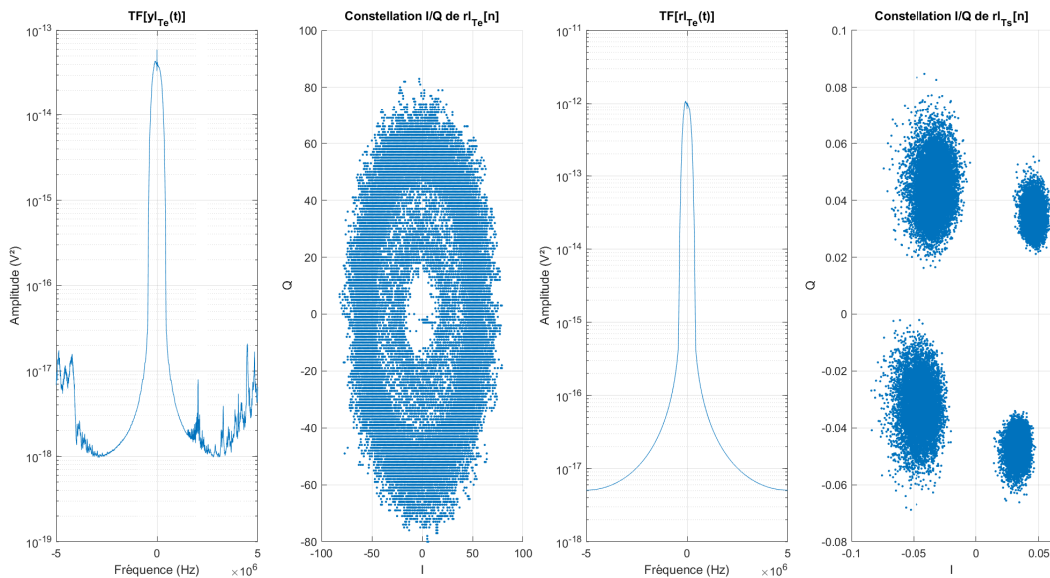


FIGURE 25 – Transformée de Fourier discrète du signal et sa constellation au récepteur



## 5 Conclusion

Ainsi, nous avons établi une chaîne de communications numériques utilisant une modulation QPSK avec ou sans mode différentiel pour un filtre porte ou un filtre en racine de cosinus surélevé. Nous remarquons que, pour le nombre de bits que nous devons traiter, une modulation avec le mode différentiel et l'utilisation d'un filtre en rcos sont à privilégier. Pour corriger le problème lié au matériel, nous avons tenter de mettre en place la détection de plusieurs préambules.

## A Scripts MATLAB

### A.1 Émetteur pi/4-DQPSK ou QPSK avec pré-synchronisation temporelle et fréquentielle

```

1  %% Emetteur pi/4-DQPSK/QPSK avec pre-synchronisation temporelle et frequentielle
2  close all;
3  clear;
4  %% Parametres QPSK
5  Te=1e-7; % Temps d'echantillonnage des CNA et CAN
6  Ts=2e-6; % Temps symbole
7  nb = 2; % Nombre de bits/symbole
8  M=2^nb; % Nombre de symboles de la constellation
9  fe=1/Te; % Frequence d'echantillonnage
10 Ds=1/Ts; % Debit symbole
11 Db=nb*Ds; % Debit binaire
12 Fse=floor(Ts/Te); % Facteur de sous-echantillonnage
13 f0=2.45e9; % Porteuse pour le calcul du PL
14 roll_off=0.8;
15 Nfft=2048; % Nombre de points sur lequel la FFT est effectuee
16 A=127; % Amplitude
17 Nb_paquets=1;
18
19 %% Parametres d'emission
20 ModeDiff = true; % Si 1 mode differentiel ON, si 0 mode differentiel OFF : QPSK classique
21 Filtre="rcos"; % Choix du filtre : "porte" ou "rcos"
22
23 %% Construction du signal de synchro
24 preamble = [ones(1,Fse) zeros(1,Fse) ones(1,Fse) zeros(1,2*Fse) ones(1,Fse) zeros(1,Fse) ...
25             ones(1,Fse) zeros(1,4*Fse-1)];
26
27 preamble = repmat(preamble,1,2); % repmat() : repete le motif de la matrice preamble sur ...
28                                 une fois en ligne et deux fois en colonne
29
30 %% Emetteur
31 fileID = fopen('background.jpg','r');
32 sb_Te=fread(fileID,'ubit1'); % Recuperation du flux binaire
33 sb_Te=sb_Te';
34 sb_Te=double(sb_Te);
35 fclose(fileID);
36 Nb = length(sb_Te); % Nombre de bits emis
37 sb_paquets=reshape(sb_Te,[],Nb_paquets);
38
39 sl_Te=0;
40 sl_Te_test=0;
41 for j=1:Nb/length(sb_paquets)
42     disp(j);
43     %% Modulateur numerique
44     if ModeDiff
45         thetaInit = pi/4; % Theta initial pour le mode differentiel
46         ssd_Ts(1) = exp(1i*thetaInit); % Premier symbole differentiel
47         ss_Ts=zeros(1,Nb/2/Nb_paquets);
48         ss_Ts_1 = exp(1i*thetaInit); % Premier symbole pilote pour correction de phase donc ...
49         s_b(1:2) = [0 0]
50         ssd_Ts(2)=ssd_Ts(1)*ss_Ts(1); % Creation du symbole differentiel
51
52         for i=1:Nb/2/Nb_paquets % bits vers symbole mode diff
53             if sb_paquets((i-1)*2+1:i*2,j)==[0;0]
54                 ss_Ts(i)=exp(1i*pi/4);
55             elseif sb_paquets((i-1)*2+1:i*2,j)==[0;1]
56                 ss_Ts(i)=exp(1i*3*pi/4);
57             elseif sb_paquets((i-1)*2+1:i*2,j)==[1;1]
58                 ss_Ts(i)=exp(1i*5*pi/4);
59             elseif sb_paquets((i-1)*2+1:i*2,j)==[1;0]
60                 ss_Ts(i)=exp(1i*7*pi/4);
61             end
62             ssd_Ts(i+1)=ssd_Ts(i)*ss_Ts(i); % Creation du symbole differentiel au rang i+1
63         end
64         ssd_Ts = [ss_Ts_1,ssd_Ts];
65         ss_Te = upsample(ssd_Ts,Fse); % Surechantillonnage de s_sd au rythme Fse
66     else % bits vers symbole sans mode diff
67         for i=1:Nb/2/Nb_paquets
68             if sb_paquets((i-1)*2+1:i*2,j)== [0;0]
69                 ss_Ts(i)=exp(1i*pi/4);
70             elseif sb_paquets((i-1)*2+1:i*2,j)== [0;1]
71                 ss_Ts(i)=exp(1i*3*pi/4);
72             elseif sb_paquets((i-1)*2+1:i*2,j)== [1;1]
73                 ss_Ts(i)=exp(1i*5*pi/4);
74             elseif sb_paquets((i-1)*2+1:i*2,j)== [1;0]
75                 ss_Ts(i)=exp(1i*7*pi/4);
76             end
77         end
78     end
79 end

```

```

67         elseif sb_paquets((i-1)*2+1:i*2,j)== [1;1]
68             ss_Ts(i)=exp(1i*5*pi/4);
69         elseif sb_paquets((i-1)*2+1:i*2,j)==[1;0]
70             ss_Ts(i)=exp(1i*7*pi/4);
71         end
72     end
73     ss_Te = upsample(ss_Ts,Fse); % Surechantillonnage de s_s au rythme Fse
74 end
75
76 %% Filtre de mise en forme
77 if (Filtre=="porte")
78     g = ones(1,Fse); % Version discrete du filtre g(t) echantillonne a Te; elle contient ...
79     % donc Ts/Te echantillons tous egaux (ici a 1)
80 elseif (Filtre=="rcos")
81     g=rcosdesign(roll_off,2*M, Fse, 'sqrt');
82 end
83 sl_Te_conv = conv(ss_Te,g); % Attention lors d'un filtrage numerique, les deux vecteurs a ...
84 % filtrer doivent etre sur le meme rythme d'echantillonnage !
85 if(j==1)
86     temp=sl_Te_conv;
87 end
88 %% Insertion du preambule et scalling
89 if ModeDiff
90     sl_Te = [sl_Te,preambule*100,sl_Te_conv.*A/max(abs(sl_Te_conv))]; % Multiplication ...
91     % par A pour pouvoir profiter de l'amplification maximale disponible
92 else
93     sl_Te = [sl_Te, preambule*A,sl_Te_conv.*A*sqrt(2)/max(abs(sl_Te_conv))];
94 end
95 end
96
97 %% Adaptation a la radiologicieelle
98 sl_Te=sl_Te(2:end);
99 yl_I=real(sl_Te);
100 yl_Q=imag(sl_Te);
101
102 if ModeDiff
103     yl_Tx=zeros(1,2*length(sl_Te));
104 else
105     yl_Tx=zeros(1,2*length(sl_Te));
106 end
107 yl_Tx(1:2:end)=yl_I;
108 yl_Tx(2:2:end)=yl_Q;
109
110 %% Enregistrement de la sequence emise
111 save("sb.mat","sb_Te");
112 fidID=fopen('QPSK_Tx.raw','w');
113 fwrite(fidID,int8(yl_Tx),'int8'); % Sauvegarde des echantillons modules
114 fclose(fidID);
115
116 %% Verification de la nature des signaux
117 % comparaison en DSP theorique et DSP de welch
118 figure(1);
119 subplot(121)
120 [DSP_Welch, f] = pwelch(sl_Te(length(preambule):end), ones(1,Nfft), 0, Nfft, fe, 'centered');
121 if (Filtre=="porte")
122     DSP_theo = 2*A^2/Ds*sinc(f/Ds).*sinc(f/Ds);
123 elseif (Filtre=="rcos")
124     DSP_theo=zeros(size(f));
125     for i=1:length(f)
126         if abs(f(i))<(1-roll_off)/(2*Ts)
127             DSP_theo(i)=10*2*A^2/(Ds*Fse);
128         elseif abs(f(i))<(1+roll_off)/(2*Ts)
129             DSP_theo(i)=10*A^2*(1+cos(pi*Ts/roll_off*(abs(f(i))-(1-roll_off)/(2*Ts))))/(Ds*Fse); ...
130             %s'obtient avec une transformation bilineaire
131         end
132     end
133 end
134 semilogy(f,DSP_Welch,f,DSP_theo);
135 grid on;
136 title('TF[sl_Te](t) en fonction de la frequence')
137 xlabel('Frequence (Hz)')
138 legend('Methode de Welch','DSP theorique')
139 ylabel('Amplitude (V^2)')
140 xlim([-fe/2 fe/2]);
141 ylim([10^(-5) 1]);

```

```

139
140 subplot 122
141 scatter(real(sl_Te),...
142         imag(sl_Te),'o');
143 grid on
144 title('Constellation I/Q de sl_{Te}[n]')
145 xlabel('I')
146 ylabel('Q')
147
148 % Diagramme de l'oeil
149 eyediagram(sl_Te(length(preamble):50000+length(preamble)+1),2*Fse,2*Ts);

```

## A.2 Récepteur $\pi/4$ -DQPSK ou QPSK avec pré-synchronisation temporelle et fréquentielle

```

1 %% Recepteur pi/4-DQPSK/QPSK avec pre-synchronisation temporelle et frequentielle
2 close all;
3 clear;
4 %% Parametres
5 Te=1e-7; % temps d'echantillonnage des CNA et CAN
6 Ts=2e-6; % temps symbole
7 nb = 2; % nombre de bits/symbole
8 fe=1/Te; % Frequence d'echantillonnage
9 Ds=1/Ts; % debit symbole
10 Db=nb*Ds; % debit binaire
11 M=2^nb; % Nombre de symboles de la constellation
12 Nb=3170944; % Nombre de bits emis %896
13 Fse=floor(Ts/Te); % facteur de sous-echantillonnage
14 f0=2.45e9; % porteuse pour le calcul du PL
15 seuil=0.7;
16 Ptx = 1; % Puissance d'emission (W)
17 roll_off=0.8;
18 A=127; % Amplitude
19 Nb_paquets=1;
20
21 %% Modes de reception
22 ModeDifferentiel=true; % Si 1 mode differentiel ON, si 0 mode differentiel OFF : QPSK classique
23 Filtre="rcos"; % Choix du filtre : "porte" ou "rcos"
24
25 if ModeDifferentiel
26     thetaInit = pi/4; % Theta initial pour le mode differentiel
27     ssd_Ts_1 = exp(1i*thetaInit); % premier symbole pilote pour correction de phase donc ...
28         s_b(1:2) = [0 0]
29     Nfft=4096;
30 else
31     Nfft=32768;
32 end
33 %% Preamble
34 preamble = [ones(1,Fse) zeros(1,Fse) ones(1,Fse) zeros(1,2*Fse) ones(1,Fse) zeros(1,Fse) ...
35             ones(1,Fse) zeros(1,4*Fse-1)];
36 preamble = repmat(preamble,1,2); % repmat() : repete le motif de la matrice preamble sur ...
37             une fois en ligne et deux fois en colonne
38 Ep = sum(preamble.^2); %Energie de la sequence de preamble
39
40 %% Filtre adapte
41 if (Filtre=="porte")
42     g = ones(1,Fse); % Version discrete du filtre g(t) echantillonne a Te; elle contient ...
43         donc Ts/Te echantillons tous egaux (ici a 1)
44 elseif (Filtre=="rcos")
45     g=rcosdesign(roll_off,2*M, Fse, 'sqrt');
46 end
47 ga = conj(fliplr(g)); % ga(t) = g(Ts-t) (le retard de Ts est implicite en numerique car on ...
48         travaille avec des vecteurs causaux)
49
50 %% Acquisition des donnees du recepteur
51 fileID = fopen('QPSK_Tx.raw','r');
52 rl=fread(fileID,'int8=>double'); % Recuperation des echantillons
53 fclose(fileID);
54
55 rl_I=rl(1:2:end);
56 rl_Q=rl(2:2:end);
57 yl_Te=transpose(rl_I+1j*rl_Q);

```

```

54 s=yl_Te;
55
56 %% Canal ( a mettre en simulation et non test)
57 k = 1.38e-23; % Cte Boltzmann
58 T = 273.15 + 25; % Temperature bruit du recepteur
59 N0 = k*T;
60 varb = N0/2; % Variance du bruit
61 tau0=1000*rand;
62 tau0=floor(tau0); % Retard du a la propagation
63 alpha0 = sqrt(1e-8); % Coefficient d'attenuation du canal
64 h_l = 1*[zeros(1,tau0) 1]; % Dirac decale de tau0*Te
65 Ps = 1/Te*mean(abs(s).^2); % Puissance du signal
66 yl_Te = sqrt(Ptx/Ps)*yl_Te/127; % Redescende en puissance
67 y = conv(yl_Te,h_l); % signal en sortie du canal
68
69 %% Recepteur (a mettre en simulation et non en test)
70 Deltaf = 50e-6*f0*2*(rand-0.5); % erreur de frequence Oscillateur Local precis a +-50ppm , ...
71      2*(rand-0.5)=nombre aleatoire dans l'intervalle [-1,1]
72 n = sqrt(varb/2)*(randn(1,length(y))+1i*randn(1,length(y))); % bruit
73 yl = y.*exp(1i*2*pi*[0:length(y)-1]*Te*Deltaf)+n; % ajout du bruit et de la frequence de decalage
74 yl_Te=yl;
75
76 %% Recepteur (a mettre en simulation et en test)
77 yl_Te = yl_Te./norm(yl_Te); %% normalisation
78
79 %% Pre-synchronisation temporelle
80 rho=filter(fliplr(preamble),1,abs(yl_Te))./(sqrt(Ep)*sqrt(...
81      filter(ones(1,length(preamble)),1,abs(yl_Te).^2))); % Fonction d'intercorrelation
82 [valMaxk,indk]=maxk(rho,Nb_paquets); % Recuperation de la valeur max et de son indice pour ...
83      detecter le preambule
84 indk=sort(indk);
85 rl_Ts_conc=0;
86 for k=1:Nb_paquets
87     k
88     if valMaxk(k) > seuil
89         indSynch = indk(k);
90         if ModeDifferentiel
91             if (indSynch+1+(Nb/2/Nb_paquets+2)*Fse+length(ga)-1)>length(yl_Te)
92                 yl_Te_synch = yl_Te(indSynch:end); % Suppression preambule
93             else
94                 yl_Te_synch = yl_Te(indSynch:indSynch+1+(Nb/2/Nb_paquets+2)*Fse+length(ga)-1);
95             end
96         else
97             if (indSynch+Nb/2/Nb_paquets*Fse+length(ga)-1)>length(yl_Te)
98                 yl_Te_synch = yl_Te(indSynch:end); % Suppression preambule
99             else
100                 yl_Te_synch = yl_Te(indSynch:indSynch+Nb/2/Nb_paquets*Fse+length(ga)-1);
101             end
102         end
103     else
104         yl_Te_synch = yl_Te(length(preamble):end);
105     end
106
107 %% Filtre adapte
108 rl_Te = conv(yl_Te_synch,ga); % convolution par le filtre adpate
109
110 %% Selection du message utile
111 if ModeDifferentiel
112     [Rl_Te, f] = pwelch(rl_Te.^8, ones(1,Nfft), 0, Nfft, fe, 'centered');
113     Rl_Te_dt=diff(Rl_Te);
114     [pks,locs] = findpeaks(Rl_Te_dt,'SortStr','descend');
115     if (Filtre=="porte")
116         f0_8_esti=f(locs(1)+1)/8; % Estimation frequence residuelle
117     elseif (Filtre=="rcos")
118         f0_8_esti=f(locs(3)+1)/8; % Estimation frequence residuelle
119     end
120     rl_Te=exp(-1j*(2*pi*f0_8_esti*(0:length(rl_Te)-1)*Te)).*rl_Te; % Suppression ...
121     frequence residuelle
122
123     rl_Ts=rl_Te(length(ga)+1:Fse:length(ga)+(Nb/2/Nb_paquets+1)*Fse+1); % sous ...
124     echantillonnage au rythme Fse (correspond a un echantillonnage de r_l(t) au ...
125     rythme Ts)
126     rl_Ts_1=rl_Ts(1);
127     rl_Ts_2=rl_Ts(2);
128     rl_Ts = rl_Ts(3:end)./(rl_Ts(2:end-1));

```

```

125
126     % Pre-synchronisation frequentielle tant que 2pi*Nb*f_erreur<pi/4
127     Phase_correction = angle(ssd_Ts_1)-angle(rl_Ts(2))+pi; % correction de phase initiale
128     rl_Ts = rl_Ts.*exp(1j*Phase_correction);
129     rl_Ts=rl_Ts./max(abs(rl_Ts));
130     else
131         [Rl_Te, f] = pwelch(rl_Te.^4, ones(1,Nfft), 0, Nfft, fe, 'centered');
132         [val_max,arg_max]=max(abs(Rl_Te));
133         f0_4_esti=f(arg_max)/4; % Estimation frequence residuelle
134         rl_Te=exp(-1j*(2*pi*f0_4_esti*(0:length(rl_Te)-1)*Te)).*rl_Te; % Suppression ...
            frequence residuelle
135         rl_Ts=rl_Te(length(ga)+1:Fse:length(ga)+(Nb/2/Nb_paquets-1)*Fse+1); % sous ...
            echantillonnage au rythme Fse (correspond a un echantillonnage de r_l(t) au ...
            rythme Ts)
136         % Pre-synchronisation frequentielle avec f_residuelle<fe/(2Nfft)
137     end
138     figure(3), plot(rl_Ts,'*');
139     rl_Ts_conc=[rl_Ts_conc, rl_Ts];
140 end
141
142 %% Demodulateur numerique
143 rl_Ts_conc=rl_Ts_conc(2:end);
144 sb_esti = zeros(1,Nb);
145 sb_esti(2:2:end) = real(rl_Ts_conc)<0;
146 sb_esti(1:2:end) = imag(rl_Ts_conc)<0;
147
148 %% BER
149 sb=load("sb.mat","sb_Te");
150 sb=sb.sb_Te;
151 [n,r]=biterr(sb,sb_esti) % Calcul du taux d'erreur binaire avec n le nombre de bits faux et r ...
    le ratio
152
153 %% Enregistrement
154 fidID=fopen('QPSK_Rx.jpg','w');
155 fwrite(fidID,int8(sb_esti),'ubit1');
156 fclose(fidID);
157
158 %% Verification de la nature des signaux recus
159 % comparaison en DSP theorique et DSP de Welch
160 figure(1);
161 subplot 141
162 [DSP_yl_Te, f] = pwelch(yl_Te(length(preamble):end), ones(1,Nfft), 0, Nfft, fe, 'centered');
163 semilogy(f,DSP_yl_Te);
164 grid on;
165 title('TF[yl_Te](t) en fonction de la frequence')
166 xlabel('Frequence (Hz)')
167 ylabel ('Amplitude (V^2)')
168
169
170 % Constellation I/Q
171 subplot 142
172 scatter(real(s),...
173         imag(s),'.');
174 grid on
175 title('Constellation I/Q de yl_Te[n]')
176 xlabel('I')
177 ylabel ('Q')
178 subplot 144
179 scatter(real(rl_Ts_conc),...
180         imag(rl_Ts_conc),'o');
181 grid on
182 title('Constellation I/Q de r_{l}[n]')
183 xlabel('I')
184 ylabel ('Q')
185
186 figure(1);
187 subplot 143
188 [DSP_rl_Te, f] = pwelch(rl_Te(length(preamble):end), ones(1,Nfft), 0, Nfft, fe, 'centered');
189 semilogy(f,DSP_rl_Te);
190 grid on;
191 title('TF[rl_Te](t) en fonction de la frequence')
192 xlabel('Frequence (Hz)')
193 ylabel ('Amplitude (V^2)')
194
195 figure,plot(rho(1:indSynch*2));
196

```

```
197 % Diagramme de l'oeil
198 eyediagram(rl_Te(1:50000),2*Fse,2*Ts);
```

### A.3 Réseaux des SNR en température en fonction de la distance

```
1 %% Concevoir une chaine de communication numerique QPSK avec synchro sur preambule
2 clear;
3 close all;
4 clc;
5
6 %% Initialisation
7 Ts=2e-6; % temps symbole
8 nb = 2; % nombre de bits/symbole
9 Ds=1/Ts; % debit symbole
10 Db=nb*Ds; % debit binaire
11 f0=1.2e9; % porteuse pour le calcul du PL
12
13 %% Variables
14 T=[-50:5:50]; %[C]
15
16 for i=1:length(T)
17     %% Emetteur
18     Ptx = 1; % Puissance d'emission (W)
19     Ptx_dBm = 10*log10(Ptx)+30;
20
21     Gtx_dBi=8;
22     Gtx = 10^(Gtx_dBi/10);
23
24     %% Recepteur
25     Grx = 1;
26     Grx_dBi=10*log10(Grx);
27
28     %% bruit ambiant
29     k = 1.38e-23; % Cte Boltzmann
30     T_i= 273.15 + T(i); % Temperature bruit du recepteur
31     N0 = k*T_i; %[W/Hz]
32     Pbruit = Db*N0; %[W]
33     Pbruit_dBm = 10*log10(Pbruit)+30;
34
35     %% Pertes par espace libre
36     c=3e8; % vitesse de la lumiere
37     R = [100:100:1000,2000:1000:10000,20e3:10e3:300e3];
38     PL = ((f0*4*pi*R)./c).^2; % Path Loss
39     PL_dB= 10*log10(PL);
40
41     %% Calcul du SNR en fonction de R et T
42     RSB_dBm=Ptx_dBm+Gtx_dBi+Grx_dBi-PL_dB-Pbruit_dBm;
43     EbN0_dBm = RSB_dBm;
44
45     figure(1)
46     semilogx(R,RSB_dBm)
47     xlabel('Distance (m)');
48     ylabel('SNR (dB)');
49     grid on;
50     hold on;
51 end
52 title('Reseaux des SNR en temperature en fonction de la distance');
53 xlim([0 300e3]);
54 hold off;
```